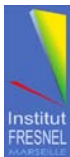




COLOQ - HORIZONS - JNCO - JNOG

Marseille,
4-7 juillet 2011

PROGRAMME



LE PROGRAMME EN UN COUP D'ŒIL

Lundi 4 juillet 2011

10:30	INSCRIPTIONS			
13:30	OUVERTURE (C. FABRE - H. GIOVANNINI - P. ROUBIN - J. ORGEAS)			
14:00	PLENIERES (M. Digonnet - G. Maire - F. Balembois)			
16:00	Pause			
16:30	COLOQ 1	JNCO 1	JNOG 1	HORIZONS 1
18:30	Réunion CMDO			

Mercredi 6 juillet 2011

Mercredi 6 Juillet				
08:20	JNCO 3			HORIZONS 3
08:30	COLOQ 3			HORIZONS 4
09:00	Pause			
10:00	Pause			
10:30	COLOQ 4	JNCO 4	JNOG 4	HORIZONS 4 (suite)
12:00	Repas			
13:30	POSTERS 2	POSTERS 2	POSTERS 2	POSTERS 2
15:30	Pause			
16:00	PLENIERES (Y. Mairesse - J-P. Chambaret - T. Kippenberg)			
20:00	REPAS DE GALA			

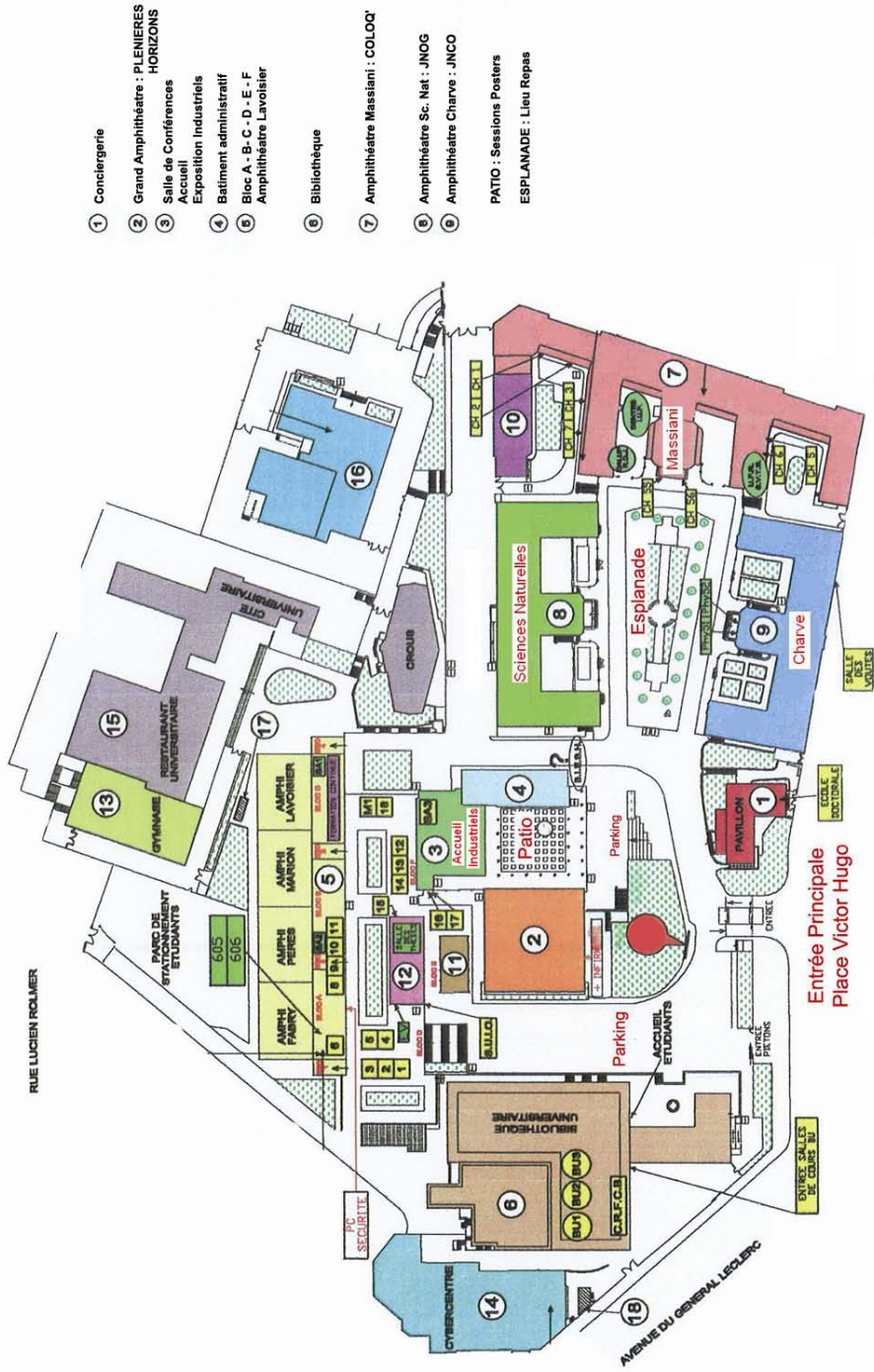
Mardi 5 juillet 2011

Mardi 5 Juillet				
08:30	COLOQ 2	JNCO 2	JNOG 2	HORIZONS 2
10:00	Pause			
10:30	POSTERS 1	POSTERS 1	POSTERS 1	POSTERS 1
12:00	Repas			
13:30	Session "INDUSTRIE" Session "ENSEIGNEMENT"			
15:30	Pause			
16:00	A. Alexandrou			
16:30	Remise des Prix de la SFO			
18:00	Assemblée Générale SFO			

Jeudi 7 juillet 2011

Jeudi 7 Juillet				
08:30	COLOQ 5	JNCO 5	JNOG 5	HORIZONS 5
09:00	Pause			
10:00	Pause			
10:30	COLOQ 6	JNCO 6	JNOG 6	HORIZONS 6 (suite)
12:00	Repas			
13:30	PLENIERES (R. Quidant - S. Huant - J. Reichel - P. Camy)			
15:30	FIN DU CONGRES OPTIQUE MARSEILLE 2011			

Université de Provence - Site St Charles



Le congrès "**Optique Marseille 2011**" est la réunion, sous l'égide de la **Société Française d'Optique (SFO)**, de 4 congrès sur la photonique organisés annuellement : les **Journées Nationales d'Optique Guidée (JNOG)**, **Horizons de l'Optique**, les **Journées Nationales des Cristaux pour l'Optique (JNCO)**, et le **Congrès sur les Lasers et l'Optique Quantique (COLOQ)**.

Au cours de cette manifestation auront également lieu des rencontres pédagogiques et une exposition de matériel scientifique.

Les objectifs d'Optique Marseille 2011 sont multiples :

- regrouper les conférences françaises ayant rapport à la **photonique** de manière à ce que les différentes communautés scientifiques du domaine se rencontrent,
- laisser une large place aux **étudiants et aux jeunes chercheurs** afin que ceux-ci puissent se familiariser avec la communauté française de l'Optique et de la Photonique,
- **permettre la rencontre des enseignants, chercheurs et ingénieurs du public et du privé** pour favoriser le brassage des idées et des connaissances dans une science qui apporte chaque année son lot de découvertes, de nouveautés et d'évolutions technologiques,
- faire **découvrir le paysage des laboratoires de Photonique et des entreprises liées à la Photonique de la région PACA**, en particulier de l'aire marseillaise et limitrophe et cela pour la première fois à toute la communauté de l'optique.

La manifestation sera ponctuée par des **conférences plénières** communes aux quatre congrès, qui eux-mêmes alterneront les **exposés invités**, les **conférences** et les **sessions de posters**.

C'est avec grand plaisir que la **Société Française d'Optique**, les **trois universités marseillaises** qui, à quelques mois de leur fusion, sont partenaires de la manifestation, et **les laboratoires d'optique-photonique marseillais** vous accueillent tous ensemble pour la première fois dans la cité phocéenne, dans le **site de St Charles**.

Bienvenue à toutes et à tous.

Claude Fabre
Président de la SFO

Hugues Giovannini
Président du Comité Local d'Organisation

Accès Internet

Un accès WiFi a été mis en place.
Les codes d'accès sont :

- Login : **congres**
- Password : **OM2011**

Restauration

- **Les déjeuners**

Les repas des 5, 6 et 7 juillet auront lieu entre 12h et 13h30 sur l'esplanade située entre les amphithéâtres.

LA PRESENTATION DE VOTRE BADGE EST OBLIGATOIRE A CHAQUE REPAS

Les déjeuners étant servis sous forme de plateaux repas, nous vous remercions de jeter vos déchets dans les poubelles prévues à cet effet.

LA FEDERATION DES TABLES DE CANA défend les enjeux essentiels pour une Planète Durable (utilisation de matériaux recyclés, produits biodégradables, le tri sélectif...)

- **Les pauses café**

Les pauses café se dérouleront vers le patio, en intérieur et en extérieur, à proximité des exposants industriels et des posters.

- **Le repas de Gala**

Le repas de Gala se tiendra le mercredi 6 juillet à partir de 20h au **Fort Ganteaume**.

2, boulevard Charles Livon
13007 Marseille
Tel. : 04 96 17 28 99

Pour vous y rendre, voir plan en fin de programme (p. 51).

PROGRAMME DETAILLE

LUNDI 4 JUILLET 2011

13:30 – 14:00 : Ouverture du congrès

Grand Amphi

Monsieur Hugues Giovannini, Président du Comité Local d'Organisation,
Directeur de l'Institut Fresnel

Monsieur Claude Fabre, Président de la SFO

Madame Pascale Roubin, Directrice Adjointe Scientifique de l'Institut de
Physique du CNRS, membre du laboratoire PIIM

Monsieur Jérôme Orgeas, Vice-président délégué aux Technopôles et
Agglomération Numérique, Université, Recherche de la Communauté
urbaine Marseille Provence Métropole et Maire de Roquefort-la-Bédoule

14:00-16:00 : Plénière 1

Grand Amphi

14:00 L'utilisation de la lumière lente dans les capteurs à fibres

M. Dignonnet

Stanford University

**15:00 Microscopie tomographique diffractive : vers une imagerie
quantitative tridimensionnelle haute résolution**

G. Maire

Institut Fresnel

15:30 Lasers à fibres cristallines pompés par diodes

F. Balembois, I. Martial, D. Sangla, X. Délen, Y. Zaouter, E. Mottay, F.

Druon, P. Georges, K. Lebbou, A. Brenier, O. Tillement, N. Aubry, J.

Didierjean, D. Perrodin et J.-M. Fourmigué

Laboratoire Charles Fabry

16:30-18:30 : COLOQ 1
Ions froids en piège radiofréquence
Amphi Massiani

16:30 **Trapped ions for simulating quantum physics**

C. Roos

Institute for Quantum Optics

17:15 **Auto-organisation d'ions froids en piège de différentes symétries : de la chaîne à l'anneau.**

C. Champenois, M. Marciante, J.

Pedregosa-Gutierrez, A. Calisti, G.

Hagel, O. Morizot, M. Houssin et M. Knoop

PIIM, CNRS/Universite de Provence

17:45 **Les ions piégés comme système modèle : du qubit topologique à la simulation quantique analogique**

L. Guidoni, T. Coudreau, R. Dubessy,

B. Dubost, S. Guibal, J.-P. Likforman

et B. Szymanski

Laboratoire MPQ UMR7162

18:15 **Discussion**

16:30-18:30 : JNCO 1
Cristallogénèse
Amphi Charve

16:30 **Nanocristaux organiques fluorescents enrobés d'une coquille silicatée : vers un nouveau type de traceurs très lumineux pour l'imagerie médicale**

C. Philippot, F. Dubois, M. Maurin, P. Baldeck, B.

Van Den Sanden et A. Ibanez

Institut Néel, CNRS, UJF, INPG

16:50 **Crystal growth of cubic rare earth sesquioxides**

P. Veber, M. Velazquez, O. Viraphong, V.

Jubera, R. Decourt et S. Pechev

ICMCB-UPR 9048 Univ.Bordeaux

17:10 **Recent Progress in the growth of large Ti-doped sapphire crystals for high power laser application**

K. Lebbou, A. Nehari, A. Brenier, J. Gofroy, S.

Labor, H. Legal, G. Chériaux, J.P. Chambaret, T.

Duffar et R. Moncorgé

LPCML UMR 5620

17:30 **Croissance in situ de cristaux de KTiOPO4 à domaines périodiquement alternés**

A. Pena, B. Ménaert, B. Boulanger, F. Laurell, C.

Canalias, V. Pasiskevicius, P. Segonds, C. Félix, J.

Debray et S. Pairis

Institut Néel CNRS/UJF

17:50 **Croissance et défauts de cristaux pour applications laser et optique non linéaire**

S. Ilas, A. Jaffrès, P.-O. Petit, P. Loiseau, G. Aka,

B. Viana, J. Lejay, A. Suganuma, D. Rytz et A.

Maillard

LCMCP

18:10 **Croissance rapide de cristaux convertisseurs de fréquence de KDP deutérés pour le lasermégajoule**

J. Leroudier, J. Zaccaro et A. Ibanez

Institut Néel, CNRS, UJF, INPG

16:30-18:30 : JNOG 1

Amplificateurs et Lasers

Amphi Sciences Naturelles

16:30 Sources lasers bleues haute puissance à fibre dopée ytterbium en régimes continu et pulsé

R. Dubrasquet, S. Lugan, A. Crawford, J. Bouillet, N. Traynor, R. Bello-Doua et E. Cormier

Celia Université Bordeaux 1

16:45 Laser à fibre femtoseconde délivrant 500 nJ à 976 nm

J. Lhermite, G. Machinet, C. Lecaplain, R. Royon, A. Hideur et E. Cormier

CELIA Université Bordeaux 1

17:00 Réalisation d'un laser à fibre dopée Ytterbium de forte puissance moyenne délivrant des impulsions de 22 ps à 40 MHz

P. Deslandes, D. Sangla, J. Saby, F. Salin et E. Freysz

Université de Bordeaux, LOMA

17:15 Combinaison cohérente d'amplificateurs à fibres en régime femtoseconde

L. Daniault, M. Hanna, L. Lombard, Y. Zaouter, E. Mottay, D. Goular, P. Bourdon, F. Druon et P. Georges

Laboratoire Charles Fabry

17:30 Cavité à réseaux de Bragg pour les lasers à fibre monomodes de haute puissance

L. Lablonde, O. Rabine, K. Ylä-Jarkko, A. Salokatve, T. Robin et B. Cadier

iXFiber SAS

16:30-18:30 : HORIZONS 1

Grand Amphi

16:30 Composants Opto-microfluidiques : Sources optiques et biocapteurs sur puce.

A.-M. Haghiri-Gosnet

LPN -UPR20 du CNRS

17:00 Le laser femtoseconde : un outil de choix pour la structuration physicochimique de matériaux à l'échelle nanométrique

L. Canioni, A. Royon, G. Papon, B.

Bousquet, Y. Petit, K. Bourhis et T. Cardinal
LOMA UMR 5798

17:30 Chirurgie du segment antérieur de l'œil assistée par laser à impulsions ultra-brèves

K. Plamann, F. Alahyane, F. Aptel, C.

Crotti, F. Deloison, L. Kowalczyk, J.-M.

Legeais, T. Marciano, V. Nuzzo, D. Peyrot et M. Savoldelli

ENSTA ParisTech - EP - CNRS

18:00 Microscopie optique non-linéaire des tissus biologiques : vers une imagerie structurelle in situ des remodelages tissulaires.

M.-C. Schanne-Klein

Lab. d'Optique et Biosciences

LUNDI 4 JUILLET 2011

17:45-18:30 : JNOG 1

**Amplificateurs et lasers
(suite)**

Amphi Sciences Naturelles

**17:45 Impact de la saturation du gain
d'un amplificateur optique à
semiconducteurs utilisé pour
l'amplification 'booster' du réseau
d'accès sur la qualité du signal optique**

*M.N. Ngo, Q. Deniel, N. Genay et D.
Erasme*

COMELEC, TELECOM ParisTech

**18:00 Lumière lente et rapide par
oscillations cohérentes de population
dans les amplificateurs optiques à semi-
conducteurs**

*P. Berger, J. Bourderionnet, F. Bretenaker,
D. Dolfi et M. Alouini*

Institut de Physique de Rennes

**18:15 Caractérisation spectrale d'un laser
à fibre de puissance, monofréquence et
de faible largeur de raie émettant à 780
nm pour des applications de
refroidissement d'atomes par laser**

*A. Mugnier, E. Le Mercier, R. Lebref, M.
Jacquemet et D. Paturel*

QUANTEL

8:30-10:00 : COLOQ 2

Sources, laser, ONL

Amphi Massiani

8:30 Optique non-linéaire et dynamique non-linéaire dans les paquets d'électrons relativistes

S. Bielawski

PhLAM/CERLA

9:00 Le fil photonique, une nouvelle géométrie pour la réalisation de sources de lumière quantique efficaces

J. Claudon, J. Bleuse, N. Malik, M. Creasey, M. Munsch, E. Dupuy, N. Gregersen, P. Lalanne et J.-

M. Gérard

CEA Grenoble

9:30 Traitement tout optique du signal en cristal photonique

S. Combré, P. Colman, A. De Rossi, C.

Husko, C. Wong, I. Sagnes, I. Cestier, V.

Echouse et G. Eisenstein

Thales Research and Technology

8:30-10:00 : JNCO 2

Optique en milieux micro-nano-structurés - Endommagement laser

Amphi Charve

8:30 Investigation of the optical properties of diluted boron-based alloys B(Al,Ga)N and their applications on innovative UV Distributed Bragg Reflectors

M. Abid, T. Moudakir, S. Gautier, G. Orsal, A. En Naciri, Z. Djebbour, J. Ryou, G.

Patriarche, H. Kim, Z. Lochner, K. Pantzas, D.

Alamarguy, F. Jomard, J.P. Salvestrini, R.

Dupuis et A. Ougazzaden

Georgia Institute of Technology

8:50 Niobate de lithium périodiquement polarise a courte periode et perspectives d'application

P. Baldi, M. De Micheli, E. Quillier, L. Gilbert,

J.P. Salvestrini et S. Tascu

LPMC UMR 6622

9:10 L'endommagement laser des cristaux convertisseurs de fréquence : métrologie et compréhension du phénomène.

L. Lamaignere

CEA

9:30 Marquage coloré par laser continu sur films nanocomposites ré-inscriptibles

N. Destouches, N. Crespo-Monteiro, L.

Nadar, L. Bois, F. Chassagneux, F. Vocanson,

S. Reynaud et

E. Gamet

Laboratoire Hubert Curien

9:50 Discussion

8:30-10:00 : JNOG 2

Nanophotonique

Amphi Sciences Naturelles

8:30 Assemblage évanescent de nanocavités à cristaux photoniques

B. Cluzel, K. Foubert, D. Peyrade, E. Picard, E. Hadji et F. De Fornel
Université de Bourgogne

9:00 Couplage entre une membrane à cristaux photoniques en matériaux III-V et une fibre microlentillée : Simulations et mesures

T.N. Nguyen, K. Lengle, A. Akrouf, P. Rochard, L. Bramerie, M. Gay, M. Thual, S. Malaguti, A. Armaroli, G. Bellanca, S. Trillo, S. Combré, P. Colman, G. Lehoucq et A. De Rossi
CNRS FOTON

9:15 Expressions analytiques pour les coefficients de diffusion à l'interface entre deux milieux périodiques

W. Smigaj, P. Lalanne, J. Yang, T. Paul, C. Rockstuhl et F. Lederer
LCF, Institut d'Optique

9:30 Génération d'impulsions à une fréquence de répétition de 100 GHz à l'aide de lasers à verrouillage de modes passif à base de bâtonnets quantiques émettant à 1,55 μ m

R. Rosales, K. Merghem, A. Martinez et A. Ramdane
CNRS LPN

9:45 Source de photons uniques annoncés à base de cristaux photoniques non linéaires 2D

M. Lazoul, A. Boudrioua, L.M. Simohamed, A. Fischer et L.-H. Peng
Université Paris 13

8:30-10:00 : HORIZONS 2

Grand Amphi

8:30 Approche non conventionnelle sur les conversions non linéaires par la théorie cinétique

C. Michel, B. Kibler, G. Millot, P. Suret, S. Randoux, S. Rica et A. Picozzi
Laboratoire ICB

9:00 L'optique non linéaire dans les valves à cristal liquide et applications

U. Bortolozzo, S. Residori et J.-P. Huignard
Institut Non Linéaire de Nice

9:30 Méthode de détection originale pour la tomographie optique diffuse

J.-M. Tualle, K. Barjean, M. Vasiliu, A. Dupret, E. Tinet et D. Ettore
Lab. de Phys. des Lasers

10:30 – 12:00 : Session Posters 1

Patio

Liste des posters en fin de programme

13:30-15:30 : Industrie

Amphi Sciences Naturelles

13:30 **L'industrie optique en France en 2011**

C. Subran

Opton Laser International

13:50 **Modalités de transfert de la recherche publique vers l'industrie**

F. Paun

ONERA

14:05 **Marseille Provence Métropole : Le développement économique par l'innovation**

P. Tachouaft

Marseille Provence Métropole

14:20 **Incubateurs et pôles régionaux, rôle dans l'accompagnement des start-up, amorçages**

M.-B. Fontanarava

Incubateur Impulse

14:35 **Missions de l'OSEO, accompagnement, soutien et financements des projets innovants**

A. Derrien

OSEO-PACA

14:50 **Création, développement, croissance : histoire d'une start-up des micro-technologies optiques**

S. Tisserand

SILIOS TECHNOLOGIES

15:05 **Technologie fs pour la contrefaçon, la tribologie et les implants médicaux**

H. Soder

Impulsion SAS

15:20 **Financement par le capital-risque du développement des start-up**

A. Rodermann

Arenatis VC

13:30-15:30 : Rencontres pédagogiques - Table ronde Amphi Charve

Table ronde autour du thème "Comment susciter l'intérêt des jeunes pour l'optique ? Quel enseignement de l'optique pour demain ?"

16:00-18:00 : Plénière 2 et remise des Prix de la SFO

Grand Amphi

16:00 **Sonder le fonctionnement cellulaire à l'aide de l'imagerie de nanoparticules dopées aux terres rares**

A. Alexandrou

Lab d'Optique et Biosciences

16:30 : **Remise des Prix de la SFO**

Grand Prix Léon Brillouin

Prix Fabry - de Gramont 2010

Prix Fabry - de Gramont 2011

Prix Arnulf Françon

18:00-20:00 : Assemblée Générale SFO

Grand Amphi

8:30-10:00 : COLOQ 3

Information et systèmes quantiques 1

Amphi Massiani

8:30 Polaritons de microcavités: un nouveau type de fluide quantique

A. Amo, S. Pigeon, D. Sanvitto, V.G. Sala, I. Carusotto, R. Hivet, F. Pisanello, G. Leménager, R. Houdré, E. Giacobino, C. Ciuti et A. Bramati

Laboratoire Kastler Brossel-UPMC

9:00 Intrication de deux atomes par blocage de Rydberg

A. Browaeys

Institut d'Optique, CNRS

9:30 Source de Paires de Photons Intriquées à Base de Boîtes Quantiques Unique. Etat Actuel et Defis

A. Beveratos

LPN-CNRS

10:30-12:00 : COLOQ 4

Biophotonique 1

Amphi Massiani

10:30 Enhanced and directional fluorescence emission from molecules in a nanoaperture antenna

H. Aouani, O. Mahboub, E. Devaux, N. Bonod, E. Popov, H. Rigneault, T. Ebbesen et J. Wenger

Institut Fresnel

8:20-10:00 : JNCO 3

Matériaux luminescents...

Amphi Charve

8:20 Utilisation de cristaux scintillateurs pour la physique des particules : 15 ans de développement du tungstate de plomb

E. Auffray

CERN

8:40 Scintillateurs couches minces pour imagerie X haute-résolution

T. Martin, P.-A. Douissard et E. Mathieu

ESRF

9:00 Transferts d'énergie dans les fluorures dopés terres-rares pour convertisseurs solaires luminescents basse-fréquence

D. Serrano, A. Braud, J.L. Doualan, P. Camy et R. Moncorgé

CIMAP - ENSICAEN

9:20 Optimisation de scintillateurs denses pour l'imagerie médicale X et Gamma

S. Blahuta, B. Viana et A. Bessière

LCMCP Chimie ParisTech

9:40 'Up-Converters' nanostructurés pour cellules solaires de troisième génération

A.-L. Joudrier, C. Andriamiamanana, A. Ferrier, F. Pellé et J.-F. Guillemoles

ENSCP - LCMCP - IRDEP

10:30-12:00 : JNCO 4

Lasers à solides

Amphi Charve

10:30 Compact and efficient diode-pumped and intracavity frequency-doubled ND:YAG AND ND:GGG lasers to pump RGBO Pr³⁺-doped fluoride laser crystals around 469 nm

B. Xu, P. Camy, R. Souldard, F. Starecki, G.

Brasse, J.L. Doualan et R. Moncorgé

CIMAP-ENSICAEN

8:30-10:00 : JNOG 3

Systèmes et réseaux de télécommunications

Amphi Sciences Naturelles

8:30 NG-PON à 40 Gb/s utilisant une accordabilité en longueur d'onde du récepteur ou de l'émetteur

F. Raharimanitra, P. Chanclou, A. Lebreton et R. Murano

Orange Labs, France Telecom

8:45 Double régénération tout-optique du profil temporel et de l'état de polarisation d'un signal télécom à 40 Gbit/s

P. Morin, J. Fatome, C. Finot, S. Pitois, C.-H. Hage, V. Tissot, R. Claveau et G. Millot
Laboratoire ICB

9:00 Approche multi-bandes pour la transmission WDM longue distance à 100 Gbps de signaux OFDM cohérents multiplexés en polarisation

J. Karaki, E. Pincemin, Y. Jaouen, R. Le Bidan et T. Guillossou

Télécom ParisTech

9:15 Transmission Optique Multiplexée en Mode à 2x100Gb/s sur 40km de Fibre Prototype Légèrement Multimodale

C. Koebele, M. Salsi, D. Sperti, A. Boutin, P. Sillard, S. Bigo et G. Charlet

Alcatel-Lucent Bell Labs

9:30 Démonstration expérimentale d'un réseau optique cross-layer reconfigurable

C. Ware, C. Lai, D. Brunina, W. Zhang, A. Garg, B. Bathula et K. Bergman

Columbia University

9:45 Discussion

8:30-9:00 : HORIZONS 3

Grand Amphi

8:30 Auto-assemblage moléculaire : Maîtriser les processus optiques à l'échelle nanométrique.

A. Bocheux, D. Bléger, G. Metgé, G. Bordeaux, L. Douillard, C. Fiorini-Debuisschert, F. Mathevet, A.-

J. Attias, M.-P. Teulade-Fichou et F. Charra
CEA

9:00-10:00 : HORIZONS 4

Mini-colloque "Nanophotonique"

Grand Amphi

9:00 Contrôle dans le champ lointain du facteur de qualité de cavités à cristaux photoniques planaires

N. Le Thomas et R. Houdré

EPFL

9:20 Diffusion Raman stimulée dans les guides à cristaux photoniques sous excitation continue

X. Checoury, Z. Han, D. Néel, S. David, M.

El Kurdi, N. Cazier et P. Boucaud

IEF

9:40 Laser tout cristal photonique: du guide photonique optimisé au laser autocollimaté sans guide

A. Monmayrant, J. Campos, O. Gauthier-Lafaye, J. Arlandis, E. Centeno, S.

Bonnefont et F. Lozes-Dupuy

CNRS

10:00 Pause

10:30 THz semiconductor sources: merging photonics and electronics

R. Colombelli

IEF

<p>11:00-12:00 : COLOQ 4 Biophotonique 1 (suite) Amphi Massiani</p> <p>11:00 Imagerie et spectroscopie de fluorescence par illumination non radiative : comment briser la limite de diffraction <i>P. Winckler et R. Jaffiol</i> ICD UMR CNRS 6279-STMR, LNIO</p> <p>11:30 Nanoparticules de diamant fluorescentes: marqueurs photostables pour l'étude fonctionnelle des épines dendritiques de neurones corticaux de souris en culture <i>M.-P. Adam, A.-M. Lepagnol-Bestel, Y.-K. Tzeng, G. Dantelle, H.-C. Chang, F. Treussart et M. Simonneau</i> LPQM, UMR8537</p>	<p>10:50-12:00 : JNCO 4 Lasers à solides (suite) Amphi Charve</p> <p>10:50 Laser Yb:CaGdAlO₄ en "thin-disk" <i>S. Ricaud, B. Weichelt, P. Goldner, B. Viana, M. Abdou-Ahmed, D. Ritz, E. Mottay, P. Georges et F. Druon</i> Laboratoire Charles Fabry</p> <p>11:10 Performances lasers en pompage par diodes lasers et étude des propriétés thermo-optiques à des températures cryogéniques de matériaux lasers dopés à l'ion ytterbium <i>V. Cardinali, B. Le Garrec, E. Marmois et G. Bourdet</i> CEA-CESTA</p> <p>11:30 Influence de la température sur la section efficace d'émission et sur le fonctionnement laser du Nd:YVO₄ à 1064nm <i>X. Délen, F. Balembois et P. Georges</i> Laboratoire Charles Fabry</p> <p>11:50 Discussion</p>
--	--

<p>10:30-12:00 : JNOG 4 Instrumentations, Capteurs, Hyperfréquences Amphi Sciences Naturelles</p> <p>10:30 Capteur optofluidique à base de micro-résonateurs en polymères pour la biodétection sans marqueur fluorescent <i>C. Delezoide, M. Salsac, J. Lautru, J. Zyss, I. Ledoux-Rak et C.T. Nguyen</i> LPQM - ENS Cachan</p> <p>10:45 Filtre spectral indépendant à la polarisation à base de réseaux résonants 1D croisés <i>K. Chan-Shin-Yu, P. Arguel, A.-L. Fehrembach, A. Monmayrant, S. Bonnefont, A. Sentenac et O. Gauthier-Lafaye</i> LAAS-CNRS</p> <p>11:00 Capteur distribué à fibre optique à haute résolution utilisant l'effet Brillouin et la technique DPSK <i>M.W. Lee, B. Stiller, J. Hauden, H. Maillotte, L. Thévenaz et T. Sylvestre</i> Institut FEMTO-ST</p> <p>11:15 Déport par fibre optique d'impulsions femtosecondes de durée record égale à 17,8 fs à 820 nm <i>C. Lefort, M. Kalashyan, T. Mansuryan, L. Mouradian, A. Barthélémy et F. Louradour</i> XLIM, UMR CNRS 6172</p> <p>11:30 Laser à fibre DFB pour la génération de signaux hyperfréquence <i>J. Maxin, S. Molin, G. Pillet, L. Morvan, A. Mugnier, D. Pureur et D. Dolfi</i> Thales Research and Technology</p> <p>11:45 Discussion</p>	<p>10:50-12:10 : HORIZONS 4 Mini-colloque "Nanophotonique" (suite) Grand Amphi</p> <p>10:50 Cristaux photoniques LiNbO3 sur ridges à très hauts facteur de forme <i>N. Courjal, J. Dahdah, P. Sevillano, G. Ulliac, B. Guichardaz et F. Baida</i> FEMTO-ST</p> <p>11:10 Nonlinear Dynamics in a Photonic Crystal Nanocavity: bistability, excitability and self pulsing <i>A. Yacomotti, M. Brunstein, I. Sagnes, F. Raineri et A. Levenson</i> LPN-CNRS</p> <p>11:30 Métamatériaux et émetteurs ponctuels <i>A. Degiron, T. Teperik, R. Ghasemi et A. De Lustrac</i> IEF, UMR 8622</p> <p>11:50 Nonlinéarités dans les fibres optiques microstructurées en verre de chalcogénure <i>G. Renversez</i> Institut Fresnel et AMU</p>
---	--

MERCREDI 6 JUILLET 2011

10:30 – 12:00 : Session Posters 2

Patio

Liste des posters en fin de programme

16:00-18:00 : Plénière 3

Grand Amphi

16:00 **Impulsions attosecondes et optique extrêmement non-linéaire**

Y. Mairesse

CELIA

17:00 **Le projet ILE APOLLON 10 PW : Avancées sur les cristaux de Titane Saphir et de LBO**

J.P. Chambaret

ILE (Institut de Lumière Extrême)

17:30 **Cavity Optomechanics: Back-action cooling of mechanical oscillators**

T. Kippenberg

EPFL

<p>8:30-11:00 : COLOQ 5 Information et systèmes quantiques 2 Amphi Massiani</p> <p>8:30 Hybrid quantum circuits <i>P. Bertet</i> CEA Saclay</p> <p>9:00 Rephasage de cohérences atomiques par passages adiabatiques rapides pour la mémorisation quantique <i>M.F. Pascual-Winter, R.-C. Tongning, M. Bonarota, V. Damon, T. Chanelière, A. Louchet-Chauvet et J.-L. Le Gouët</i> Laboratoire Aimé Cotton</p> <p>9:30 Source de paires de photons intriqués en polarisation émis en bande étroite aux longueurs d'ondes des télécommunications <i>F. Kaiser, A. Martin, L. Labonté, V. D'Auria, M. De Micheli, D. Ostrowski, O. Alibert et S. Tanzilli</i> LPMC UMR 6622</p> <p>10:00 Pause</p> <p>10:30 Triplets de photons : De l'optique non linéaire à l'optique quantique <i>B. Boulanger, A. Dot, K. Bencheikh, A. Levenson, A. Borne, P. Segonds et C. Félix</i> Institut Néel CNRS/UJF</p>	<p>8:30-10:00 : JNCO 5 Optique non-linéaire 1 Amphi Charve</p> <p>8:30 OPOs OP-GaAs infrarouges pompés à 2 μm <i>C. Kieleck, M. Eichhorn, A. Hildenbrand, G. Stöppler, E. Lallier, D. Faye, A. Grisard, B. Gerard et S. Jackson</i> Institut franco-allemand ISL</p> <p>8:50 Imagerie quantique par amplification paramétrique dans les cristaux non linéaires quadratiques <i>F. Devaux et E. Lantz</i> Université de Franche-Comté</p> <p>9:10 Démonstration des corrélations quantiques de triplets de photons <i>A. Dot, K. Bencheikh, B. Boulanger, A. Levenson, P. Segonds et C. Félix</i> Institut Néel CNRS/UJF</p> <p>9:30 Laser ZnSe:Cr²⁺ picoseconde accordable à verrouillage de modes par miroir non linéaire <i>J.-B. Dherbecourt, A. Denoed, J.-M. Melkonian, M. Raybaut, A. Godard, M. Lefebvre et E. Rosencher</i> ONERA / DMPH</p> <p>9:50 Discussion</p>
--	---

8:30-10:00 : JNOG 5

Effets nonlinéaires

Amphi Sciences Naturelles

8:30 Propagation d'ondes incohérentes dans une fibre optique monomode : évolution irréversible du spectre optique

P. Suret, A. Picozzi et S. Randoux
PHLAM

8:45 Amélioration du mélange à quatre ondes dans des guides à cristaux photoniques en GaInP dans un régime de lumière lente et évaluation des transmissions à 40 Gbit/s

K. Lengle, L. Bramerie, M. Gay, J.C. Simon, S. Combríé, P. Colman et A. De Rossi
Université européenne de Bretagne

9:00 Mélange à quatre ondes dans une fibre optique à coeur suspendu en verre de chalcogénure AsSe très fortement non-linéaire

S.D. Le, D.M. Nguyen, M. Thual, L. Bramerie, M. Costa E Silva, K. Lengle, M. Gay, T. Chartier, L. Brilland, D. Méchin, P. Toupin et J. Troles
Université européenne de Bretagne

9:15 Instabilité modulationnelle dans une fibre optique présentant un profil périodique de dispersion

M. Droques, A. Kudlinski, G. Bouwmans, L. Bigot, B. Barviau et A. Mussot
PhLAM/IRCICA, Université Lille1

9:30 Eétude théorique et expérimentale de l'influence de la dispersion d'ordre 3 sur l'instabilité de modulation dissipative

F. Leo, A. Mussot, P. Kockaert, P. Emplit, M. Haelterman et M. Taki
OPERA-photonique, ULB CP 194/5

9:45 Discussion

8:30-9:00 : HORIZONS 5

Grand Amphi

8:30 Micro-optique intégrée sur diodes laser verticales

V. Bardinal, B. Reig, D. Barat, T. Camps, E. Daran et J.-B. Doucet
LAAS-CNRS

9:00-11:30 : HORIZONS 6

Mini-colloque "Technologies optiques intégrées..."

Grand Amphi

9:00 Microspectrophotomètre (SWIFTS) intégré sur un détecteur mégapixel : récents résultats

E. Le Coarer
LAOG

9:20 Intégration ultime de fonctions optiques sur plans focaux infrarouges

F. De La Barrière, G. Druart, N. Guérineau, J. Taboury, G. Lasfargues et M. Fendler
ONERA

9:40 Pause

10:10 Characteristics of miniature bio-inspired optic flow sensors, indoors and outdoors

F. Expert, S. Viollet et F. Ruffier
Biorobotique dpt., ISM, UMR 6233

10:30 Des détecteurs infrarouge courbes pour simplifier et miniaturiser les caméras

D. Dumas, M. Fendler, B. Cloix, F. Berger, G. Lasfargues, G. Druart, J. Primot et E. Le Coarer
CEA, LETI, MINATEC

<p>11:00-12:00 : COLOQ 6 Biophotonique 2 Amphi Massiani</p> <p>11:00 Matrice de transmission d'un milieu opaque : mesure et application à l'imagerie. <i>S. Popoff, G. Lerosey, R. Carminati, M. Fink, A. Boccara et S. Gigan</i> Institut Langevin UMR7587</p> <p>11:30 Résultats récents concernant l'imagerie par fibre optique <i>F. Louradour, C. Lefort, J. Desroches, T. Mansuryan, D. Pagnoux, A. Barthélémy, J. Brévier, G. Ducourthial, M. Khalashian, D. Peyrot, N. Sandeau, S. Kruglik et G. Bourg-Heckly</i> XLIM, UMR CNRS 6172</p>	<p>10:30 - JNCO 6 Optique non-linéaire 2 Amphi Charve</p> <p>10:30 Giant microphotonic: Large aperture PPMgLN <i>T. Taira</i> Institute for Molecular Science</p> <p>10:50 Cristaux pour le filtrage temporel non linéaire d'impulsions laser femtosecondes par la technique XPW <i>A. Jullien, O. Albert, A. Ricci, N. Forget, R. Lopez-Martens, N. Minkovski et S. Kourtev</i> Laboratoire d'Optique Appliquée</p> <p>11:10 Records de doublement et triplement de fréquence dans LBO <i>G. Mennerat, O. Bonville, P. Villeval et D. Lupinski</i> CEA</p>
--	---

10:30 - JNOG 6

Fibres optiques microstructurées

Amphi Sciences Naturelles

10:30 Source de lumière UV générée par microplasma microonde dans des guides d'onde à coeur creux

B. Debord, R. Jamier, F. Gérôme, C. Boisse-Laporte, P. Leprince, O. Leroy, J.-M. Blondy et F. Benabid

Institut de recherche XLIM

10:45 Caractérisation structurelle répartie à l'échelle nanométrique d'une fibre optique microstructurée par résonance acoustique et mode hybride

P. Sznrtgiser, A. Kudlinski, D. Bacquet, G. Bouwmans, M. Dossou, J.-C. Beugnot et V. Laude

Laboratoire PhLAM/CNRS

11:00 Interet de l'Hétéro-Structuration de la gaine dans les fibres toutes solides à Bande Interdite Photonique pour la suppression des Modes d'ordres supérieurs.

A. Baz, L. Bigot, G. Bouwmans et Y.

Quiquempois

PhLAM/IRCICA

11:15 Utilisation de fibres à bande interdite photonique 2D pour la stabilisation thermique d'un oscillateur opto-électronique.

G. Beck, L. Bigot, G. Bouwmans, A. Kudlinski, M.

Douay et J.-P. Vilcot

PhLAM/IRCICA

11:30 Amplification à haute énergie par une fibre souple microstructurée dopée ytterbium d'impulsions mises en forme temporellement dans la gamme nanoseconde

L. Lago, A. Mussot, M. Douay et E. Hugonnot

CEA CESTA

11:45 Discussion

10:50-11:30 : HORIZONS 6

Mini-colloque "Technologies optiques intégrées..." (suite)

Grand Amphi

10:50 Des caméras infrarouges 'sans optiques'

M. Vuillermet, Y. Reibel, S. Magli, G. Druart et J. Deschamps

SOFRADIR

11:10 Procédés de Micro-/Nano-Technologies pour la fonctionnalisation des plans focaux

S. Tisserand, S. Gautier, M. Hubert, A. Faiola et V. Sauget

SILIOS TECHNOLOGIES

13:30 - Plénière 4

Grand Amphi

13:30 Taming light and heat at the nanoscale: Applications to biosciences

R. Quidant

ICFO

14:00 Plasmonique quantique avec un nanodiamant fluorescent

S. Huant

Institut Néel

14:30 Puces à atomes et cavités fibrés : Un laboratoire quantique miniaturisé

J. Reichel

Lab. Kastler Brossel

15:00 La Fluorine dopée Ytterbium : un système cristallin atypique pour les lasers à impulsions brèves et les amplificateurs de très forte puissance

P. Camy, A. Braud, J.L. Doualan, A. Benayad, V. Ménard, G. Brasse, R.

Moncorgé, F. Druon, P. Georges, S. Ricaud, D. Papadopoulos, A. Courjaud,

E. Mottay et M. Siebold

CIMAP-ENSICAEN

LISTE DES POSTERS

COLOQ'12

P1 Développement d'un oscillateur paramétrique optique simplement résonant et accordable sur 500 GHz dans le MIR pour la détection de trace par spectroscopie CRDS

E. Andrieux, A. Rihan, M. Cadoret et J.-J. Zondy

LCM

P2 Développement de nano-membranes à cristal photonique pour l'optomécanique

T. Antoni, R. Braive, A. Kuhn, T. Briant, P.-F. Cohadon, I. Abram, G. Beaudoin, I. Sagnes, I. Robert-Philip et A. Heidmann

Laboratoire Kastler Brossel

P3 Stabilisation de fréquence sur une ligne à retard optique: Sensibilité aux vibrations et bruit de fréquence

B. Argence, T. Li, A. Haboucha, H. Jiang, J.-L. Dournaux, D. Koné, P. Lemonde et G. Santarelli

LNE-SYRTE Obs. de Paris CNRS

P4 Condensation et thermalisation d'ondes classiques dans un guide d'ondes optique

P. Aschiéri, C. Michel, J. Garnier, J. Fleischer, C. Sun, S. Rica et A. Picozzi

Laboratoire ICB

P5 Transfert de qualité de faisceau par couplage de cavités lasers

S. Auroux, V. Kermène, A. Desfarges-Berthelemot et A. Barthélémy

Xlim, UMR CNRS 6172

P6 Vapeur confinée dans une opale de nanobilles de silice : observation d'un retrecissement spectral de type Dicke

P. Ballin, I. Maurin, A. Laliotis, E. Moufarej et D. Bloch

Labo Physique des Lasers

P7 Mouvements Photomoléculaires sur des nano-objets en azopolymère : vers de nouvelles applications en photonique

R. Barillé, P. Tajalli, J.-M. Nunzi, S. Kucharski et E. Ortyl

Moltech Anjou

P8 Laser à semiconducteur en cavité externe bipolarisé et bifréquence pour les horloges atomiques de type CPT

J. Barrientos, F. A. Camargo, S. Janicot, I. Sagnes, A. Garnache, G. Baili, L. Morvan,

P. Georges et G. Lucas-Leclin

Laboratoire Charles Fabry

P9 Un interféromètre atomique piégé pour la mesure de forces à faible distance
Q. Beauvils, G. Tackmann, X. Wang, B. Pelle, S. Pélisson, P. Wolf et F. Pereira Dos Santos

LNE-SYRTE UMR 8630 CNRS

P10 Mesure de l'anisotropie directionnelle magnéto-électrique dans les gaz

H. Bitard et C. Robilliard

Université Paul Sabatier

P11 Méthode de caractérisation des portes quantiques agissant sur des états cohérents

R. Blandino, F. Ferreyrol, M. Barbieri, P. Grangier et R. Tualle-Brouri

Institut d'Optique

P12 Nouvelle détermination de la constante de structure fine et test de l'électrodynamique quantique

R. Bouchendira, P. Cladé, S. Guellati-Khélifa, F. Nez et F. Biraben

Laboratoire Kastler Brossel

P13 Pompage et émission de nanoparticules de Silicium en microcavité

Y. Candéla, F. Gourbilleau, G. Lin, J.-B. Jager, V. Lefèvre-Seguin et J. Hare

CNRS/LKB

P14 Transfert de stabilité de fréquence avec un laser femtoseconde

B. Chanteau, O. Lopez, B. Darquié, W. Zhang, Y. Le Coq, C. Chardonnet et A. Amy-Klein

Lab. de Physique des Lasers

P15 Cryptographie quantique par codage temporel

G. Charles, S. Fossier et T. Debuisschert

Thales Research and Technology

P16 Optimisation d'un interféromètre atomique embarquable et nouvelles techniques de mesure accélérométriques

R. Charrière, O. Carraz, M. Cadoret, N. Zahzam, Y. Bidet et A. Bresson

ONERA

P17 Ralentisseur Zeeman à aimants permanents et résultats récents avec un Laser à Atomes Guidé

P. Cheiney, O. Carraz, D. Bartoszek-Bober, S. Faure, F. Vermersch, C. Fabre, G. Gattobigio, T. Lahaye, D. Guéry-Odelin et R. Mathevet

LCAR

P18 Développement d'une source laser à 515 nm par doublage de fréquence dans des cristaux de niobate de lithium

N. Chiodo, F. Du Burck, C. Zumsteg, J.-P. Wallerand et O. Acef

LNE-SYRTE/ Observatoire de Paris

P19 Effects of surface morphology on random lasing in ZnO thin films grown by MOCVD

C. Couteau

Université de Troyes-UTT

P20 Renforcer la sécurité du chiffrement en couplant cryptographie quantique et cryptographie classique

T. Debuisschert, S. Fossier, R. Tualle-Brouri, P. Grangier, E. Diamanti, A. Leverrier, R. Alléaume, P. Pache, P. Painchault, P. Jouguet et S. Kunz-Jacques

Thales Research and Technology

P21 Mise en évidence de l'amplification paramétrique par mélange à quatre ondes dans une fibre à cœur liquide

P. Delaye, M.C. Phan Huy et S. Lebrun

LCFIO

P22 Une source laser puissante pour piéger les atomes de lithium

U. Eismann

LKB, ENS, CNRS, UPMC

P23 Déformation laser d'une interface air-eau

O. Emile et J. Emile

Laboratoire Physique des Lasers

P24 Cinétique de traduction de ribosomes individuels par microscopie de fluorescence

N. Fiszman, A. Le Gall, D. Dulin, H. Walbott, D. Fourmy, K. Perronet, S. Yoshizawa et N. Westbrook

Institut d'Optique

P25 Laser organique accordable dans l'ultraviolet

S. Forget, H. Rabbani-Haghighi, N. Diffalah, A. Siove et S. Chenais

Lab. de Physique des Lasers

P26 Laser à semiconducteur à cavité-externe compacte monofréquence à bas bruit de forte puissance accordable pour applications photoniques

A. Garnache

Institut d'Electronique du Sud

P27 Source de photons intriqués large bande pour distribution multi-utilisateurs

J. Ghalbouni, I. Agha, E. Diamanti, R. Frey et I. Zaquine

Télécom ParisTech, CNRS/LTCI

P28 Mélange à 4 ondes modulé en amplitude dans un laser Nd:YVO4

H. Gilles, S. Girard, M. Laroche et E. Lacot

Laboratoire CIMAP

P29 Optimisation d'une source de photons intriqués impulsionnelle fibrée de faible largeur spectrale pour les communications quantiques du futur

S. Guilbaud, J.-L. Smirr, I. Agha, E. Diamanti, R. Frey et I. Zaquine

Télécom ParisTech, CNRS/LTCI

P30 Synchronisation dans des réseaux optiques non dissipatifs

D. Hennequin et P. Verkerk

Laboratoire PhLAM

P31 Limite de Cramér-Rao quantique pour des états Gaussiens multimodes

P. Jian, O. Pinel, J. Fade, D. Braun, N. Treps et C. Fabre - Laboratoire Kastler Brossel

P32 Métrologie de H2+ : avancées et projets

J.-P. Karr, A. Douillet, V. Tran et L. Hilico

LKB - Univ. Evry

P33 Cartographie de faisceaux Laguerre-Gauss très focalisés : nature du détecteur et couplage entre spin et moment orbital

V. Klimov, D. Bloch, M. Ducloy et J. Rios Leite

Labo Physique des Lasers

P34 Atteindre le régime quantique d'un objet macroscopique

A. Kuhn, J. Teissier, M. Bahriz, T. Antoni, T. Briant, C. Chartier, P.-F. Cohadon, O. Ducloux, R. Flaminio, A. Heidmann, C. Michel, L. Pinard et O. Le Traon

Laboratoire Kastler Brossel

P35 Effets de température sur l'interaction Casimir-Polder : observation en champ proche et à l'équilibre thermique

A. Laliotis, T. Passerat De Silans, I. Maurin, M.-P. Gorza, P. Ballin, M. Ducloy et D. Bloch

Labo Physique des Lasers

P36 Imagerie par génération de second harmonique résolue en polarisation de tissus biologiques anisotropes.

G. Latour, I. Gusachenko et M.-C. Schanne-Klein

Lab. d'Optique et Biosciences

P37 Réalisation d'un gravimètre atomique absolu miniature

J. Lautier, B. Battelier, P. Bouyer et A. Landragin

SYRTE Observatoire de paris

P38 Convertisseur Raman émettant dans le orange sur le second ordre Stokes du toluène

S. Lebrun, C. Buy, P. Delaye, R. Frey et G. Pauliat

Laboratoire Charles Fabry

P39 Observation d'une nouvelle phase géométrique par interférométrie atomique

S. Lepoutre, J. Gillot, G. Tréneç, A. Gauguet, M. Büchner et J. Vigué

LCAR UMR 5589- IRSAMC

P40 Analyse polarimétrique et orientation de nanoémetteurs

C. Lethiec, J. Laverdant, H. Vallon, C. Belacel, H. Frederich, C. Schwob, L. Coolen et A. Maitre

INSP

P41 Transfert à très haute résolution d'une référence de fréquence optique sur le réseau fibré detélécommunication

O. Lopez, B. Chanteau, V. Roncin, C. Chardonnet, A. Amy-Klein, A. Haboucha et G. Santarelli - Lab. de Physique des Lasers

P42 Dynamique d'ions refroidis, confinés en piège multipolaire

M. Marciante, C. Champenois, G. Hagel, M. Houssin, O. Morizot, J. Pedregosa-Gutierrez et M. Knoop -

PIIM, CNRS/Université de Provence

P43 Génération et caractérisation de peignes de fréquence quantiques multimodes

R. Medeiros De Ara'ujo, O. Pinel, P. Jian, J. Feng, B. Chalopin, C. Fabre et N. Treps
Laboratoire Kastler Brossel

P44 Interférométrie atomique aéroportée : vers un test du principe d'équivalence

V. Ménoret, R. Geiger, G. Stern, N. Zahzam, A. Bresson, A. Landragin et P. Bouyer
Laboratoire Charles Fabry

P45 Solitons spectraux discrets incohérents

C. Michel, B. Kibler et A. Picozzi
Laboratoire ICB

P46 Observation des effets de lumière lente dans le spectre de bruit d'un laser semiconducteur de classe A.

B. Miranda, K. El Amili, G. Baili, F. Goldfarb, I. Sagnes, F. Bretenaker et M. Alouini
Institut de Physique de Rennes

P47 Préparation des lasers pour la réalisation d'un étalon de fréquence optique

O. Morizot, G. Hagel, D. Guyomarc'H, E. Bizri, C. Champenois, M. Houssin, J. Pedregosa-Gutierrez et M. Knoop
PIIM, CNRS/Université de Provence

P48 Fonction de transfert généralisée d'un laser fibré à rétroaction distribuée avec saut de phase central

N. Nguyen Thi Kim, Y. Boucher et P. Besnard
UEB, CNRS Foton UMR 6082, Enssat

P49 Modélisation d'une cavité non linéaire sous contrôle cohérent

J. Oden, S. Trebaol et N. Dubreuil
LCFIO, CNRS

P50 Transmission cohérente de lumière dans un gaz d'atomes froids

R. Pierrat, M. Chalony, D. Delande et D. Wilkowski
Institut Langevin

P51 étude analytique d'un laser organique à émission verticale en cavité externe

H. Rabbani-Haghighi, S. Forget, A. Siove et S. Chenais
Lab. de Physique des Lasers

P52 Effets transitoires dans des résonateurs à modes de galerie : modèle et applications

A. Rasoloniaina, S. Trebaol, Y. Dumeige et P. Féron
FOTON, UMR CNRS 6082

P53 Modèle de Vlasov-Fokker-Planck pour le piège magnéto-optique

R. Romain, D. Hennequin et P. Verkerk - Laboratoire PhLAM

P54 Peigne de fréquence optique à la limite quantique pour la métrologie quantique

R. Schmeissner, B. Lamine, C. Fabre et N. Treps - Laboratoire Kastler Brossel

P55 Vers une première observation de la non-conservation de la parité dans les molécules chirales, par spectroscopie laser

C. Stoeffler, B. Darquié, A. Shelkownikov, C. Daussy, A. Amy-Klein et C. Chardonnet
Lab. de Physique des Lasers

P56 Corrélations optomécaniques et amplication d'un signal par action en retour

A. Tavernarakis, P. Verlot, T. Briant, P.-F. Cohadon et A. Heidmann
Laboratoire Kastler Brossel

P57 Nouvelles formes de synchronisations dans un laser bi-fréquence soumis à une rétro-injection décalée en fréquence

J. Thévenin, M. Romanelli, M. Vallet, M. Brunel et T. Erneux
Institut de Physique de Rennes

P58 Etude de la structuration membranaire de cellules vivantes par Spectroscopie de Corrélation de Fluorescence

P. Winckler, A. Cailler, R. Deturche, R. Le Naour, H. Morjani, P. Jeannesson et R. Jaffiol
LNIO, UTT

P59 Laser à cavité verticale externe pour la génération d'impulsions courtes de faible gigue temporelle à 1,55 μm

Z. Zhao, S. Bouchoule, L. Ferlazzo, E. Galopin, J.-C. Harmand et J.-L. Oudar
CNRS - Laboratoire LPN

P60 Exaltation de l'émission spontanée à 1,53 μm dans un guide réalisé par diffusion de titane dans un substrat de niobate de lithium dopé à l'erbium et pompé optiquement à 980 nm

Q. Zou, R. Farha, K. Ghomid et B.-E. Benkelfat
Télécom SudParis, UMR CNRS 5157

P61 Laser Nd : YAG stabilisé sur l'iode en cavité

C. Zumsteg, F. Du Burck, N. Chiodo, K. Djerroud, O. Turazza, D. Holleville, M. Lours et O. Acef
LNE-SYRTE/ Observatoire de Paris

HORIZONS DE L'OPTIQUE

P62 Effet Vernier entre le peigne de fréquence d'un laser à blocage de modes et le peigne de fréquence d'une cavité optique de haute finesse : une nouvelle méthode de spectroscopie laser

C. Abd Alrahman, R. Grilli, S. Kassi, G. Méjean, I. Ventrillard et D. Romanini
Univ. Grenoble 1 / CNRS, LIPhy

P63 Microscopie non-linéaire à deux photons résolue en polarisation dans les tissus

D. Aït-Belkacem, S. Asenov, C.A. Valades Cruz, P. Ferrand, J. Duboisset, M. Roche et S. Brasselet

Institut Fresnel

P64 Microscopie Raman stimulée par focalisation spectrale

E. Andresen, P. Berto et H. Rigneault

Institut Fresnel

P65 Contrôle de l'émission de fluorescence moléculaire avec des nano-ouvertures métalliques structurées par réseau de corrugations

H. Aouani, O. Mahboub, E. Devaux, T. Ebbesen, H. Rigneault et J. Wenger

Institut Fresnel

P66 Microscopie Tomographique Diffractive : vers une haute résolution 3-D isotrope

J. Bailleul, L. Hui, B. Simon, M. Debailleul, S. Vertu, J.-J. Delaunay et O. Haeberlé

Laboratoire MIPS-EA2332

P67 Conversion non linéaire exaltée dans les nanostructures métallo-diélectriques.

E. Barakat, M.-P. Bernal, R. Salut et F. Baida

FEMTO-ST

P68 Etude du couplage entre nanoparticules métalliques et ions de terres rares

A. Berthelot, A. Pillonnet, A. Pereira, G. Colas Des Francs et A.-M. Jurdyc

LPCML

P69 Contraste de phase en microscopie CARS plein champ

P. Berto, D. Gachet, P. Bon, S. Monneret et H. Rigneault

Institut Fresnel

P70 Découpe en volume de la cornée par laser femtoseconde

C. Bijaoui, N. Varkentina, N. Sanner, O. Utéza, M. Sentis, K. El Sammak, L. Hoffart,

O. Casadessus, G. Georges, L. Siozade-Lamoine et C. Deumié

Laboratoire LP3

P71 ASUR : plateforme d'Applications des Sources lasers Ultra-Rapides

P. Blandin, L. Charmasson, G. Coustillier, D. Grojo, A. Kabashin, M. Lebugle, N.

Sanner, V. Tchérémisskine, O. Utéza et M. Sentis

Laboratoire LP3

P72 Microscopie de phase quantitative par analyse de front d'onde

P. Bon, M. Merlin, J. Savatier, B. Wattellier et S. Monneret

Institut Fresnel

P73 Contrôle à l'échelle mésoscopique des propriétés de luminescence et optiques non linéaires au sein d'un verre phosphate de zinc et d'argent

K. Bourhis, Y. Petit, R. Durand, N. Makria, T. Cardinal, G. Papon, A. Royon, M.

Dussauze, V. Rodriguez et L. Canioni

ICMCB

P74 Fibre photonique pour la micro-endoscopie non linéaire

S. Brustlein, A. Muir, J. Knight et H. Rigneault - Institut Fresnel

P75 Imagerie quantitative de la diffusion et de l'interaction de protéines fluorescentes à l'intérieur de cellules vivantes

J. Capoulade, M. Knop et M. Wachsmuth

EMBL

P76 Densité d'états locale et effets de champ proche dans les milieux fortement désordonnés

A. Cazé, R. Pierrat et R. Carminati

Institut Langevin

P77 Dépôt par pulvérisation Magnétron pour optiques de 2 mètres

G. Chauveau, D. Torricini, C. Grèzes-Besset, D. Stojcevski et M. Lequime

CILAS

P78 Optimisation de dérivés fluorescents pour le marquage biologique : de l'ingénierie moléculaire à la réalisation de système hybrides particules-molécules

Y. El Harfouch, G. Metgé, F. Charra, S. Marguet, G. Bordeau, B. Dumat, M.-P. Teulade-Fichou et C. Fiorini-

Debuisschert

CEA Saclay

P79 Méthode non supervisée d'identification de composés gazeux pour la spectroscopie d'absorption

J. Fade, N. Cézard et S. Lefebvre

Institut de Physique de Rennes

P80 Propriétés de diffusion et caractérisation de la transparence de greffons cornéens

G. Georges, O. Casadessus, L. Siozade-Lamoine, C. Deumié, L. Hoffart et J. Conrath

Institut Fresnel

P81 Conception d'éléments optiques diffractifs à milieu effectif

P. Gérard, V. Raulot, M. Flury et J. Fontaine

INSA de Strasbourg

P82 Super-résolution en microscopie de fluorescence : illumination structurée assistée par réseau et imagerie de speckle.

J. Girard, E. Mudry, E. Le Moal, K. Belkebir, P. Chaumet, H. Giovannini, A. Talneau et A. Sentenac

Institut Fresnel

P83 Imagerie laser à synthèse d'ouverture par réinjection optique

W. Glastre, E. Lacot, O. Hugon, O. Jacquin et H. Guillet De Chatellus

Liphy

P84 Achieving negative refraction for surface plasmon polaritons

M. Kadic, S. Guenneau, S. Enoch et A. Ramakrishna

Institut Fresnel

P85 Fonctions optiques complexes réalisées par technologies denses pour les applications en environnement sévère

H. Krol, N. Valette, D. Torricini et C. Grèzes-Besset

CILAS

P86 ISO-microscopie : résolution isotrope en microscopie optique

E. Le Moal, E. Mudry, P. Chaumet, P. Ferrand et A. Sentenac

Institut Fresnel

P87 Filtre métal-diélectrique haute réjection intégré en technologie CMOS

J. Le Perchec, R. Espiau De Lamaestre, M. Brun, N. Rochat, O. Gravrand, G. Badano, J. Hazart et S. Nicoletti

CEA, LETI, Minatec Campus

P88 Dynamique femtoseconde de l'absorption non linéaire à la surface de milieux diélectriques

M. Lebugle, N. Sanner, O. Utéza et M. Sentis

Laboratoire LP3

P89 Nano-anneaux métalliques auto-assemblés pour la plasmonique

T. Lerond, J. Proust, H. Yockell-Lelièvre, D. Gérard et J. Plain

LNIO

P90 Absorption non-linéaire d'impulsions femtosecondes proche-IR dans le volume du silicium

S. Leyder, D. Grojo, I. Bogatyrev, P. Delaporte, W. Marine, M. Sentis et O. Utéza

Laboratoire LP3

P91 Polarimétrie non-linéaire dans des nanoparticules d'or isolées non-centrosymétriques

V. Maillard, D. Gachet et S. Brasselet

Institut Fresnel

P92 Système d'imagerie dynamique plasmonique et microscopique : application à l'étude de la motilité cellulaire

J. Moreau, J.M. Allain, R. Gulvady, A. Bellemain et M. Canva

Institut d'Optique

P93 Lecture de l'organisation moléculaire par microscopie CARS

F. Munhoz, F.Z. Bioud, J. Duboisset, H. Rigneault et S. Brasselet

Institut Fresnel

P94 Enregistrement de pages de données de forte résolution dans une mémoire optique de type Lippmann

G. Pauliat et K. Contreras

Laboratoire Charles Fabry

P95 Heuristique de la diffraction à l'infini par une discontinuité d'indice dans une lame à faces parallèles

M. Peloux, J.-P. Hugonin et P. Chavel

Institut d'Optique

P96 Caractérisation de nanoparticules isolées par spectroscopies d'extinction et de diffusion

A. Perron, J. Roul, R. Jaffiol, A.-L. Baudrion et R. Bachelot - LNIO, UTT

P97 Synthèse et caractérisation de cristaux photoniques autoassemblés : vers l'optimisation de sources de photons uniques

N.H. Phan, K. Aregahegn, L. Coolen, C. Barthou, P. Benalloul, J.-M. Frigerio, T.N. Pham, A. Maitre et C. Schwob

INSP

P98 CoBiSS : Spectromètre compact à échantillonnage bidimensionnel

M. Renault, Y. Hadjar, S. Blaize, A. Bruyant, L. Arnaud, G. Lérondel et P. Royer

Université de Tech. de Troyes

P99 Stabilisation d'ondes opto-millimétriques au moyen d'un modulateur non-linéaire

A. Rolland, G. Loas, M. Brunel, L. Frein, F. Bondu, M. Vallet et M. Alouini

Institut de Physique de Rennes

P100 Imagerie de Phase Quantitative Appliquée à la Biologie sur un Microscope Classique

J. Savatier, P. Bon, D. Marguet et S. Monneret

Institut Fresnel

P101 Microscopie biphotonique de la peau innervée

D. Sevrain, Y. Le Grand, N. Lebonvallet et L. Misery

UBO (Bretagne), Faculté Sciences

P102 Banc de mesure de la transmission spectrale de filtres interférentiels à forte structuration spatiale

S. Sorce, L. Abel-Tibérini et M. Lequime

Institut Fresnel

P103 Mesure de la température de molécules individuelles par imagerie optique de super-résolution

C.A. Valades Cruz, G. Baffou et H. Rigneault

Institut Fresnel

P104 Absorption d'impulsion laser femtoseconde dans la silice fondue

N. Varkentina, G. Coustiller, N. Sanner, M. Sentis et O. Utéza

Laboratoire LP3

P105 Phase separation and crystallization mechanism in non linear optical LiNbO₃-SiO₂ glasses

H. Vigouroux, E. Fargin, A. Fargues, B. Le Garrec, M. Dussauze, V. Rodriguez, F.

Adamietz, S. Lotarev, V. Sigaev, G. Mountrichas, E. Kamitsos et T. Cardinal

ICMCB

P106 Molecular order imaging in cell membranes by polarimetric fluorescence microscopy

X. Wang, A. Kress, H. Ranchon, H. Rigneault, P. Ferrand et S. Brasselet

Institut Fresnel

P107 Diffusion lumineuse dans les filtres interférentiels complexes

M. Zerrad, C. Grèzes-Besset, M. Lequime et C. Amra

Institut Fresnel

P108 Dépolarisation spatiale et repolarisation temporelle

M. Zerrad, J. Sorrentini, G. Soriano et C. Amra
Institut Fresnel

JNCO

P109 Etude comparative des défauts macroscopiques de $\text{YAl}_3(\text{BO}_3)_4$ et de $\text{La}_0,71\text{Y}_0,57\text{Sc}_2,72(\text{BO}_3)_4$ observés en ombre portée ou révélés par attaque chimique.

M. Bourezzou, A. Maillard, R. Maillard, D. Rytz, P. Villeval, G. Aka, P. Loiseau et J. Lejay

Université Paul Verlaine Metz.

P110 Laser bi-fréquence $\text{Yb}^{3+}:\text{KGd}(\text{WO}_4)_2$ pompé par diode accordable avec des réseaux de Bragg volumiques

A. Brenier

LPCML UMR 5620

P111 SHG et THG dans les cristaux non-linéaires pour des applications spatiales

A. Ciapponi, H. Schröder, W. Riede et G. Tzeremes

German Aerospace Center (DLR)

P112 Déformation photo-induites de nanoclusters d'argent dans des films de TiO_2 sous flux laser continu

N. Crespo-Monteiro, N. Destouches, L. Nadar, F. Vocanson, S. Reynaud, E. Gamet, J.-Y. Michalon et A. Boukenter

Laboratoire Hubert Curien

P113 Troisième harmonique dans pPLN

J.-C. Delagnes, A. Royon, G. Papon, I. Manek-Höninger, B. Bousquet, P. Mounaix, L. Canioni et Y. Petit

ICMCB UPR 9048

P114 Effet du désynchronisme dans un OPO picoseconde affiné spectralement par un réseau de diffraction intracavité

J.-B. Dherbecourt, C. Laporte, J.-M. Melkonian, M. Raybaut, A. Godard et M. Lefebvre

ONERA

P115 OPO avec amplification paramétrique intracavité basé sur un cristal de PPLN bifonctionnel

A. Godard, M. Raybaut, M. Lefebvre, A.-M. Michel et M. Péalat

ONERA / DMPH

P116 Baryscan : une technique innovante et sensible dédiée à la mesure de faibles non-linéarités

T. Godin, M. Fromager, E. Cagniot, R. Moncorgé et K. Aït-Ameur

CIMAP - ENSICAEN

P117 7,7 W à 100 kHz en sortie d'un OPO OP-GaAs pompé par laser Ho:YAG

A. Hildenbrand, C. Kieleck, M. Eichhorn, E. Lallier, D. Faye, A. Grisard et B. Gerard
Institut franco-allemand ISL

P118 Elaboration et caractérisation de nouveaux matériaux non linéaires pour la conception de lasers solides émettant dans l'ultraviolet

S. Ilas, P. Loiseau et G. Aka

LCMCP

P119 Génération de second-harmonique d'oxydes nanométriques pour l'imagerie biomédicale

C. Joulaud, R. Le Dantec, Y. Mugnier, D. Gnon, L. Bonacina, J. Extermann, J.P. Wolf et C. Galez

SYMME

P120 Caractérisations optiques et spectroscopie en lumière polarisée de cristaux laser type borate

V. Jubera

ICMCB-Université Bordeaux 1

P121 Etude des propriétés optiques de $\text{YAl}_3(\text{BO}_3)_4$ par génération de second harmonique et de quatrième harmonique

R. Maillard, A. Maillard, M. Bourezzou, D. Rytz, P. Villeval, G. Aka, J. Lejay et P. Loiseau

Université Paul Verlaine Metz.

P122 Nanostructuration de fibres optiques par croissance de particules d'oxyde dopées Er³⁺

V. Mauroy, W. Blanc, M. Ude, S. Trezesien, L. Nguyen et B. Dussardier

LPMC UMR 6622

P123 Oscillateur paramétrique optique simplement résonant stabilisé en dessous du kHz.

O. Mhibik, D. Paboeuf, C. Drag et F. Bretenaker

Laboratoire Aimé-Cotton-CNRS

P124 Contrôle du dopage et de la photoréfractivité du LN dopé fer par spectroscopie Raman

S. Mignoni, M. Fontana, P. Bourson, M. Bazzan et E. Kokanyan

LMOPS

P125 Optically pump-induced athermal and non-resonant refractive index changes in Cr-doped materials: still an opened question

R. Moncorgé, J.L. Doualan, T. Godin, M. Fromager, K. Ait-Ameur, A. Chavez, R.A. Cruz et T. Catunda

CIMAP - ENSICAEN

P126 Fibres Scintillatrices pour la calorimétrie en physique des hautes énergies

K. Pauwels, E. Auffray, P. Lecoq, D. Amans, A. Belsky, K. Lebbou, G. Ledoux, D. Perrodin, A. Petrosyan, A. Vedda et C. Dujardin - LPCML, Université Lyon 1

P127 Céramiques transparentes de MgAl₂O₄ et Al₂O₃ : procédés et analyses

J. Petit, L. Vernhet, P. Dethare, A. Sergent, R. Marino, M.-H. Ritti, S. Landais, J.-L. Lunel, S. Trombert, P. Goldner et B. Viana

ONERA / DMSC

P128 Synthèse, croissance cristalline et optique non linéaire du moyen IR des composés AgGaS₂ et ZnGeP₂

J. Petit, M. Bejet, J.-C. Daux, P. Beauchene, A. Godard, J.-M. Melkonian, M. Raybaut et M. Lefebvre

ONERA / DMSC

P129 Etude et réalisation d'une structure à cristaux photoniques en niobate de lithium pour la réalisation de modulateur électro-optique.

B. Sadani, H. Lu, F. Baida, G. Ulliac et M.-P. Bernal

Institut FEMTO-ST

P130 Réseaux d'indice et réseaux de gain dans les milieux lasers solides dopés Nd³⁺ ou Yb³⁺ - Utilisation pour le mélange à deux ondes et les cavités lasers auto-adaptatives

R. Soulard, A. Brignon, R. Moncorgé, J.L. Doualan, J.-P. Huignard, O. Antipov, A. Zinoviev, O. Eremeykin et E. Ivakin

CIMAP-ENSICAEN

P131 Matériau Yb:CaGdAlO₄ pour applications laser de forte puissance à 1µm

A. Saganuma, A. Jaffrès, B. Viana, P.-O. Petit, P. Goldner, S. Ricaud, F. Balembois, F. Druon et P. Georges

LCMCP Chimie ParisTech

P132 Tolérances angulaires pour l'amplification paramétrique optique non-collinéaire dans des cristaux uniaxes et biaxes.

B. Trophème, G. Mennerat et B. Boulanger

CEA

P133 Endommagement laser multi longueur d'onde dans KTP : quantification de la coopérativité entre les longueurs d'ondes 1064 nm et 532 nm

F. Wagner, A. Hildenbrand, J.-Y. Natoli et M. Commandré

Institut Fresnel

JNOG

P134 Autocollimation mésoscopique et focalisation de la lumière dans des cristaux photoniques

J. Arlandis, E. Centeno, R. Pollès, A. Moreau, J. Campos, A. Monmayrant, O. Gauthier-Lafaye, S. Bonnefont et F. Lozes-Dupuy

Université Blaise Pascal

P135 Utilisation de l'amplification Raman sur une liaison tout-optique de 10 km pour les observatoires de fond de mer

F. Audo, S. Perhirin, M. Guegan, V. Quintard, A. Pérennou et Y. Auffret

ENIB

P136 Contrôle du taux de répétition dans un laser à fibre microstructurée hybride

F. Bahloul, T. Ennejah, M. Salhi et R. Attia

Ecole Polytechnique de Tunisie

P137 Métamatériaux à base de nano-guides métalliques comme lames anisotropes

F. Baida, M. Boutria, R. Oussaid et D. Van Labecke

FEMTO-ST

P138 Optimisation du modèle d'un laser analogique DFB pour des transmissions AMOOFDM pour les réseaux PON

T. Barry, C. Aupetit-Berthelemot, M.F. Sanya, B. Ftaich-Frigui, T. Anfray et J.P. Cances

XLIM Dpt.C2S2 UMR-CNRS 6172

P139 Etude numérique du transfert d'énergie entre solitons et ondes dispersives

B. Barviau, O. Vanvincq, A. Kudlinski et A. Mussot

PhLAM/IRCICA, Université Lille1

P140 Fibre à coeur creux pour le transport d'énergie multi-mJ

B. Beaudou, F. Gérôme, G. Gaborel, G. Humbert, J.-L. Auguste, Y. Cheng, J.-M. Blondy et F. Benabid

Institut de recherche XLIM

P141 Source accordable en longueur d'onde pour le démultiplexage à haute cadence de capteurs à réseaux de Bragg

M. Ben Abdallah, G. Laffont, N. Roussel et P. Ferdinand

CEA LIST

P142 Etude des différents régimes de fonctionnement d'un amplificateur paramétrique à fibre d'impulsions à dérive de fréquence

D. Bigourd, L. Lago, A. Kudlinski, E. Hugonnot et A. Mussot

PhLAM, IRCICA

P143 Signature spectroscopique d'une cristallisation de phosphate dans une préforme de fibre optique dopée erbium

W. Blanc, R. Peretti, A.-M. Jurdyc, B. Jacquier et B. Dussardier

LPMC UMR 6622

P144 Hologramme actif en cavité distribuée : traitement couplonique

Y. Boucher, F. Bentivegna et D. Moussa Djama

RESO - ENIB - UEB

P145 Etude d'un interféromètre Fabry-Pérot inversé constitué d'un réseau de nano-résonateurs métalliques

P. Boyer, D. Charrat et D. Van Labecke - FEMTO-ST

P146 Blocs d'extraction de labels codés en CDMA optique

H. Brahmi, M. Menif et D. Erasme

COMELEC, TELECOM ParisTech

P147 Conception de flip-flop tout-optique en utilisant des portes Ou-Exclusif

H. Brahmi, M. Menif, M. Bougioukos et D. Erasme

COMELEC, TELECOM ParisTech

P148 Réseaux de guides photo-induits à constante de couplage ajustable

C. Ciret, T. Mengis, V. Coda et G. Montemezzani

LMOPS

P149 Diode laser organique en microcavité verticale à miroirs diélectriques multicouches à volume modal contrôlé

A. Coens, M. Chakaroun, N. Fabre, A. Fischer, A. Boudrioua, A. Giacometti, S. Bouchoule et B. Geffroy

Lab. de Physique des Lasers LPL

P150 Caractérisation d'un spectromètre par transformée de Fourier compact en optique intégrée

A. Creux, A. Morand, P. Benech, B. Martin, G. Grosa, E. Le Coarer et P. Kern

IMEP-LAHC

P151 Conception d'une fibre microstructurée entièrement solide à très grande surface modale pour les sources lasers monomodes de puissance

R. Dauliat, D. Gaponov, P. Roy, K. Schuster, S. Grimm et S. Fevrier

Laboratoire Xlim, UMR 6172 CNRS,

P152 Capteur de température et Spectromètre Infrarouge de haute résolution à base d'interféromètre intégré (SWIFTS)

M. De Mengin Poirier, F. Thomas, S. Heidmann, G. Martin et E. Le Coarer

IPAG

P153 Observation en champ proche optique de la propagation d'un faisceau gaussien dans un cristal photonique présentant un effet superprisme

J. Dellinger

Université de Bourgogne

P154 Fibres lasers dopées ytterbium: une étude structurale

T. Deschamps, N. Ollier, T. Charpentier, H. Vezin et C. Gonnet

LSI

P155 Effets nonlinéaires au sein de fibres microstructurées à cœur suspendu en chalcogénure : expériences et simulations

M. Duhant, T.-N. Nguyen, W. Renard, G. Canat, A. Bétourné, L. Brilland, F. Smektala, Q. Coulombier, J. Troles et G. Renversez

Institut Fresnel et AMU

P156 Etude théorique de la résonance dans le proche infrarouge d'une nano-antenne (bowtie) métallique.

A. El Eter, T. Grosjean, P. Boyer, D. Charraut et F. Baida

FEMTO-ST

P157 Sources optiques picosecondes entièrement fibrées cadencées à 20 GHz et 40 GHz

I. El Mansouri, J. Fatome, S. Pitois, C. Finot et M. Lintz

Laboratoire ICB

P158 Filtrage spectral agile dans l'infrarouge moyen à base de réseaux métalliques sub-longueur d'onde.

T. Estruch, S. Derelle, J. Jaeck, R. Haïdar et J. Primot

ONERA - The French Aerospace Lab

P159 Verrouillage actif des modes longitudinaux d'un laser à fibre à l'aide d'un micro-miroir déformable

M. Fabert, A. Desfarges-Berthelemot, V. Kermène, P. Blondy et A. Crunteanu

Xlim, UMR CNRS 6172

P160 Extension d'un supercontinuum infrarouge dans une fibre chalcogénure AS2S3 coeur suspendu pompée par un gaz de solitons

J. Fatome, B. Kibler, M. El-Amraoui, J.-C. Jules, G. Gadret, F. Désévéday et F. Smektala

Laboratoire ICB UMR 5209 CNRS-UB

P161 Filtres à réseaux résonnants: performances expérimentales et influence des imperfections

A.-L. Fehrembach, F. Lemarchand, A. Sentenac, O. Boyko, A. Talneau, P. Arguel, S. Bonnefont, K. Chan-Shin-Yu, O. Gauthier-Lafaye, S. Hernandez, F. Lozes-Dupuy et A. Monmayrant - Institut Fresnel

P162 Simulation statistique des propriétés de cohérence d'un laser à fibre et de ses manifestations non-linéaires en optique guidée

A. Fernandez, P. Beaufort D'Augères, S. Balac, F. Ginovart, T. Chartier, A. Mugnier et D. Pureur

CNRS Foton (UMR 6082)

P163 Excitation par couplage évanescent de plasmons de surface localisés sur guide SOI

M. Février, A. Aassime, P. Gogol, A. Bondi, R. Megy, P. Beauvillain, C. Delacour, A. Tchelnokov, J.-M. Lourtioz et B. Dagens

IEF

P164 Couplage de nanocristaux à des structures plasmoniques autoassemblées

H. Frederich, F. Wen, J. Laverdant, L. Coolen, C. Schwob, C. Javaux, B. Dubertret et A. Maitre

INSP

P165 Laser à semiconducteur à cavité-externe compacte monofréquence à bas bruit de forte puissance accordable pour applications photoniques

A. Garnache

Institut d'Electronique du Sud

P166 Caractérisation de la réponse spectrale d'une OLED au sein d'un cristal photonique : Vers la diode laser organique

F. Gourdon, N. Fabre, M. Chakaroun, A. Fischer, A. Boudrioua, J. Solard, A. Giacometti, S. Bouchoule, E. Cambriil et B. Geffroy

Lab. de Physique des Lasers LPL

P167 Contrôle de la dérive de fréquence dans les lasers DFB à puits quantiques rétroactionnés optiquement

F. Grillot, J.-G. Provost, K. Kechaou, D. Erasme et B. Thedrez

INSA FOTON/TELECOM PARISTECH

P168 Dispositif fibré pour la détection de faibles fluctuations d'intensité d'impulsions ultracourtes

C.-H. Hage, B. Kibler et C. Finot

Laboratoire ICB

P169 Etude comparative des propriétés physiques des nanomatériaux semi-conducteurs ZnSe et CdSe dispersés dans le polymère PMMA

S. Halimi, A. Chaieb, M. Sebais, O. Halimi, B. Boudine et A. Boudrioua

Université Mohamed Sadek Ben Yah

P170 Génération d'une onde Stokes du second ordre et effet laser dans une fibre optique à coeur suspendu en verre de chalcogénure AsSe

K. Hey Tow, P. Besnard, L. Brilland, P. Toupin, J. Troles, D. Méchin et D. Tregcoat

CNRS, UMR 6082 FOTON

P171 Intégration de nanotubes et nanofils organiques sur puce : Propagation sub-longueur d'onde

N. Huby, J.-L. Duvail, D. Duval, D. Pluchon, A. Carré et B. Bêche

Institut de Physique de Rennes

P172 Modélisation d'un laser modulateur intégré à modulation duale (D-EML)

K. Kechaou, D. Erasme, B. Thedrez, F. Grillot, G. Aubin et C. Kazmierski

TELECOM PARISTECH

P173 Performances des SOA sur une large bande passante optique dans un système de transmission optique COOFDM

H. Khaleghi, P. Morel, A. Sharaiha, T. Ramponne et M. Guegan

UEB, ENIB

P174 Dépendance en température de la longueur d'onde de dispersion nulle d'une fibre micro-structurée

A. Kudlinski, R. Habert, G. Beck, L. Bigot et A. Mussot

PhLAM, IRCICA

P175 Impact des fluctuations d'intensité des sources supercontinuum blanches sur la qualité des images en microscopie de fluorescence

D. Labat, A. Mussot, B. Barviau, A. Leray, C. Spriet, L. Hélot et A. Kudlinski

PhLAM/IRCICA, Université Lille1

P176 Amplification à haute énergie dans une fibre à bande interdite photonique dopée ytterbium

L. Lago, L. Lavoute, S. Fevrier, D. Gaponov, M.E. Likhachev, J.C. Chanteloup, D. Penninckx, M. Douay, A. Mussot, E. Hugonnot et E. Cormier - CEA CESTA

P177 Amplificateur à fibre monomode dopée Yb3+ pour la génération de seconde harmonique à 489nm

M. Laroche, C. Bartolacci, B. Cadier, H. Gilles, S. Girard, L. Lablonde et T. Robin
Laboratoire CIMAP

P178 Propriétés optiques d'une fibre micro-structurée dopée avec des nanoparticules d'or

A. Le Rouge, L. Bigot, H. El Hamzaoui, F. Chassagneux, G. Bouwmans, B. Capoen et M. Bouazaoui
PhLAM/IRCICA

P179 Jet photonique en sortie d'un guide d'onde : de nouvelles perspectives

S. Lecler, H. Halaq, Y. Takakura, P. Gérard, B. Bayard, S. Robert et B. Sauviac
Université de Strasbourg - InESS

P180 Effets d'une faible contre-réaction optique sur des lasers à fibre DFB pour applications capteurs

Y. Léguillon, K. Hey Tow, A. Mugnier, D. Pureur, P. Besnard et M. Doisy
Thales Underwater Systems

P181 Analyse des propriétés effectives d'un multicouche périodique: application aux métamatériaux

Y. Liu, S. Guenneau et B. Gralak
Institut Fresnel - CNRS UMR 6133

P182 Combinaison cohérente d'amplificateurs à fibre en régime 100-ns

L. Lombard, A. Azarian, K. Cadoret, P. Bourdon, D. Goular, G. Canat, V. Jolivet, Y. Jaouen et O. Vasseur
ONERA

P183 Laser à fibre dopé Yb émettant à 976nm pour le pompage forte brillance d'un cristal Yb:CaF2.

G. Machinet, J. Lhermite, D. Descamps, G. Andriukatis, A. Pugzlys, A. Baltuska et E. Cormier
CELIA Université Bordeaux 1

P184 Le problème du temps de relaxation et de la profondeur de modulation d'un absorbant saturable pour verrouiller en phase efficacement un laser à fibre de puissance

G. Martel
UMR 6614 CORIA

P185 Contrôle spatial sub-longueur d'onde de la distribution du champ électromagnétique grâce à un mode guidée dans des nanostructures métalliques

A. Ndao, Q. Vagne, J. Salvi et F. Baida
FEMTO-ST

P186 Synthèse multi-diélectrique pour une exaltation optique géante

C. Ndiaye, M. Zerrad, F. Lemarchand, D. Ausserré et C. Amra
Institut Fresnel

P187 Investigation du mélange à quatre ondes et application à la mesure simultanée de la dispersion et du coefficient Kerr sur des fibres en verres de chalcogénures

D.M. Nguyen, S.D. Le, T. Chartier et M. Thual

Université européenne de Bretagne

P188 Interrogation par interférométrie en lumière incohérente de réseaux de Bragg à traits inclinés pour des applications capteurs

A.-F. Obaton, C. Wang, G. Laffont, P. Ferdinand et J. Dubard

LNE

P189 Coupleur directionnel actif en niobate de lithium fonctionnant à la longueur d'onde de 2050 nm

Y. Pawela, N. Grossard, F. Le Mounier, F. Gibert et J. Hauden

Photline Technologies

P190 Résultats sur la correction de point de fonctionnement de modulateurs électro-optique par laser femtoseconde

Y. Pawela, N. Grossard, P.-A. Lacourt et J. Hauden - Photline Technologies

P191 Modélisation d'un laser à fibre émettant à 800 nm

P. Peterka, I. Kasik, B. Dussardier et W. Blanc

LPMC UMR 6622

P192 Etude des caustiques associées aux modes de galerie dans les micro-résonateurs sphériques.

D. Pluchon, N. Huby et B. Bêche

Institut de Physique de Rennes

P193 Micro-fluidique et photo-lithographie : réalisation de micro-résonateurs 2D et 3D organiques en photonique intégrée

D. Pluchon, N. Huby, H. Lhermite, A. Moréac, E. Gaviot, P. Panizza et B. Bêche

Institut de Physique de Rennes

P194 Génération d'un continuum de lumière noire dans une fibre optique microstructurée avec un laser ultraviolet

A. Ragueh, M.W. Lee, B. Stiller, B. Barviau, A. Mussot, A. Kudlinski et T. Sylvestre

Institut FEMTO-ST

P195 Réalisation d'un laser à verrouillage de modes par SESAM à 1960 nm

W. Renard, G. Canat, M. Lefebvre et P. Bourdon

Onera - The French Aerospace Lab

P196 Luminescence d'une fibre nanocomposite SiO₂/ZrO₂ sous excitation UV

C. Restoin, G. Brasse, Y. Ouerdane, G. Granger et J.-M. Blondy

XLIM

P197 Cristaux photoniques non-lineaires sur Niobate de Lithium : Applications aux sources lasers multi-longueur d'ondes

Q. Ripault

LPL - CNRS UMR 7538

P198 Imagerie en champ proche optique à 1,55 μ m de guides d'onde plasmoniques par rétro-injection sur laser à fibre

M. Roblin, S. Girard, H. Gilles, M. Laroche, J. Cardin, C. Dufour et U. Luders
Laboratoire CIMAP, ENSICAEN

P199 Façonner l'émission de lumière avec les antennes optiques

B. Rolly, B. Stout, S. Bidault et N. Bonod
Institut Fresnel

P200 Amplification optique bidirectionnelle pour le transfert de fréquences optiques utilisant le réseau RENATER

V. Roncin, O. Lopez, B. Chanteau, C. Chardonnet, A. Amy-Klein, A. Haboucha et G. Santarelli
Lab. de Physique des Lasers

P201 Laser à fibre nanoseconde accordable dans les domaines visible et infrarouge

R. Royon, J. Lhermite, L. Sarger et E. Cormier
CELIA

P202 Résonance de mode guidé couplé par réseau métallique sub-longueur d'onde pour des applications de filtrage passe-bande

E. Sakat, G. Vincent, P. Ghenuche, S. Collin, F. Pardo, J.-L. Pelouard et R. Haïdar
ONERA

P203 Impact de l'amplification optique sur les performances d'une liaison optique DM-DD du réseau métropolitain

M.F. Sanya, C. Aupetit-Berthelemot, T. Anfray, T. Barry, B. Ftaïch-Frigui, L. Djogbé et A. Vianou
XLIM Dpt.C2S2 UMR-CNRS 6172

P204 Génération efficace de second harmonique continu en guide d'ondes AlGaAs/AlOx

M. Savanier, A. Lemaître, C. Manquest, A. Andronico, I. Favero, S. Ducci et G. Leo
Laboratoire MPQ

P205 Fibres GaGeSbS(Se) dopés Dy³⁺ + (Pr³⁺) pour capteur CO₂ à 4.3 μ m

F. Starecki, F. Charpentier, C. Poinot, J.L. Doualan, P. Camy, J. Troles, B. Bureau, L. Quétel, K. Michel et V. Nazabal
CIMAP-ENSICAEN

P206 Premiers pas vers la réalisation de fils quantiques sur LiNbO₃

O. Stepanenko, E. Quillier, H. Tronche, P. Baldi, P. Aschiéri, S. Benchabane et M. De Micheli
LPMC UMR 6622

P207 Suppression de l'effet Brillouin dans une fibre optique microstructurée périodique

B. Stiller, M.W. Lee, M. Delqué, G. Bouwmans, A. Kudlinski, J.-C. Beugnot, H. Maillotte et T. Sylvestre
Institut FEMTO-ST

P208 Conception de fibres optiques à forte dispersion chromatique pour des applications de lignes à retard microondes

J. Sun, G. Humbert, F. Gérôme, J.-L. Auguste, M. Kaba, P. Shum et J.-M. Blondy
Institut de recherche XLIM

P209 Démonstration expérimentale de la méthode de commutation de débit de dose appliquée aux fibres optiques dopées Erbium

J. Thomas, M. Myara, L. Trousselier, E. Régnier, E. Burov, O. Gilard, P. Signoret et M. Sottom
Institut d'Electronique de Sud

P210 Génération de deuxième harmonique dans les fibres effilées

M. Tousignant, S. Virally, X. Daxhelet, N. Godbout et S. Lacroix
Ecole Polytechnique de Montréal

P211 Caractérisation de réseaux de Bragg par luminescence bleue : détermination du profil d'indice de modulation en amplitude et phase

S. Tsyier, P. Yvernault, A. Millaud, I. Fsaïfes, Y. Jaouen, R. Gabet, M. Douay et B. Poumellec
Télécom ParisTech

P212 Etude expérimentale d'un capteur de pression dynamique à base de laser à fibre optique pour la détection de la transition laminaire / turbulent à la surface d'une aile d'avion

O. Vaudel, S. Molin, A. Seraudie, M. Forte, D. Dolfi, P. Nouchi, D. Arnal, M. Doisy et J. Mandle - Thales Research and Technology

P213 Durcissement aux radiations de fibres optiques dopées terres rares et d'amplificateurs à fibres optiques

M. Vivona, S. Girard, C. Marcandella, E. Pinsard, A. Laurent, T. Robin, B. Cadier, M. Cannas, A. Boukenter et Y. Ouerdane
Laboratoire Hubert Curien

P214 Augmentation du contraste et compression d'impulsions femtosecondes issues d'un amplificateur à fibre de forte énergie

Y. Zaouter, P. Ramirez, D. Papadopoulos, C. Hönninger, M. Hanna, F. Druon, E. Mottay et P. Georges
Amplitude Systèmes

RENCONTRES PEDAGOGIQUES

P215 A la lumière du laser : la Bretagne unit ses forces pour fêter le cinquantenaire du laser

T. Chartier, E. Heinrich, S. Fève, P. Besnard, D. Graviou et J.C. Simon

Université européenne de Bretagne

P216 Transmission d'un signal par voie optique

N. Chateur et L. Gallais

Ecole Centrale Marseille

P217 Une mallette pédagogique pour l'holographie

A. Escarguel

ESCUF

P218 L'optique pour la promotion des sciences dans le scientibus

F. Louradour et D. Pagnoux

XLIM, UMR CNRS 6172

P219 Accompagnement, suivi et insertion professionnelle des étudiants

A. Maitre

INSP

P220 Un laser à impulsions ultra-brèves pour l'enseignement

F. Margailan et C. Schwob

INSP

P221 L'Abret la clé des sciences présente "A la lumière des lasers"

V. Riche et M. Tréheux - ABRET, la clé des sciences

P222 Expérience de démonstration d'une phase géométrique : la phase de Pancharatnam.

J. Riquet, H. Bitard, G. Tréneq, A. Gauguet, M. Büchner, J. Vigué et C. Robilliard

LCAR UMR 5589- IRSAMC

LES INDUSTRIELS PRESENTS PENDANT LE CONGRES

2 B LIGHTING TECHNOLOGIES

ACAL BFI France

ALPHANOV

AMS TECHNOLOGIES

CILAS

COHERENT France

CVI MELLES GRIOT

EXCEL TECHNOLOGY France

FC EQUIPMENTS

GL EVENTS EXHIBITIONS -
Mesure Optvision

GIS GRIFON

HORIBA JOBIN YVON SAS

ID QUANTIQUE SA

IDIL FIBRES OPTIQUES

IMAGINE OPTIC

INFRACTIVE

IXFIBER

KEOPSYS

LASER 2000

LASER COMPONENTS

LEUKOS

LOT ORIEL

LOVALITE

MICRO CONTROLE SPECTRA
PHYSICS SAS

MRCT CNRS

NKT PHOTONICS

OPTIWAVE

OPTON LASER INTERNATIONAL

OPTOPHASE

OPTOPRIM

PERFOS

PHOTLINE TECHNOLOGIE

Revue PHOTONIQUES

PRI PHOTON Recherche Industrie

QIOPTIQ PHOTONICS

QUANTEL

ROFIN BAASEL

SEDI Fibres Optiques

THORLABS

TRIOPTICS

YENISTA OPTICS

Comité scientifique commun

- ✦ Philippe Aubourg, Quantel SA, Les Ulis
- ✦ Azzedine Boudrioua, Laboratoire de Physique des Lasers, Villetaneuse
- ✦ Benoit Boulanger, Institut Néel, Grenoble
- ✦ Anne Débarre, Laboratoire Aimé Cotton, Orsay
- ✦ Claude Fabre, Laboratoire Kastler Brossel, Paris
- ✦ Michel Lequime, Institut Fresnel, Marseille
- ✦ Richard Moncorgé, CIMAP, Caen
- ✦ Gilles Pauliat, Institut d'Optique, Palaiseau
- ✦ François Ramaz, Institut Langevin, Paris
- ✦ Emmanuel Rosencher, ONERA, Chatillon
- ✦ Costel Subran, Opton Laser, Orsay

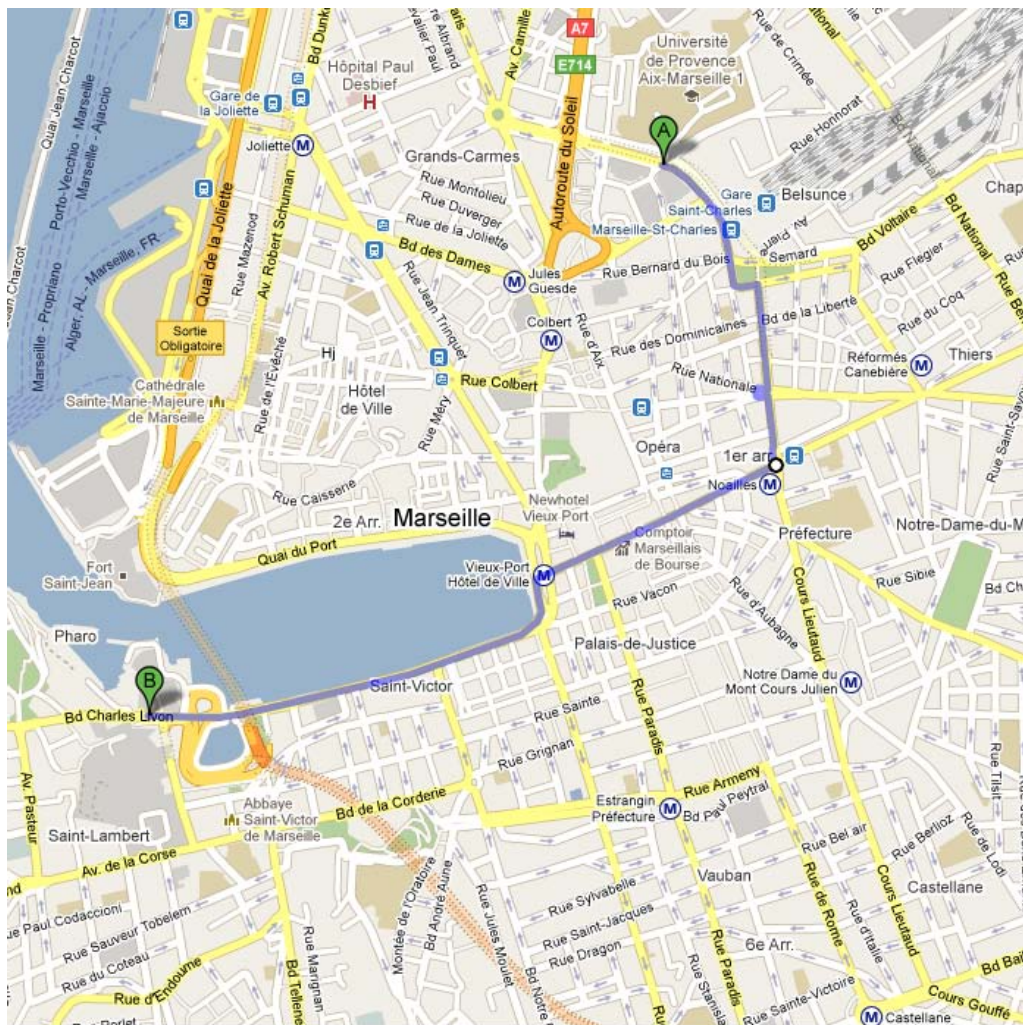
Comité local d'organisation

- ✦ Nelly Bardet, Institut Fresnel
- ✦ Nicolas Bertaux, Institut Fresnel
- ✦ Caroline Champenois, PIIM
- ✦ Jean-Gabriel Cuby, LAM
- ✦ Stefan Enoch, Institut Fresnel
- ✦ Patrick Ferrand, Institut Fresnel
- ✦ Laurent Gallais, Institut Fresnel
- ✦ Hugues Giovannini, Institut Fresnel
- ✦ Claire Guéné, Institut Fresnel
- ✦ Marie Houssin, PIIM
- ✦ Michel Lequime, Institut Fresnel
- ✦ Marjorie Maunier, association POPSUD
- ✦ Gilles Renversez, Institut Fresnel
- ✦ Olivier Uteza, LP3
- ✦ Frank Wagner, Institut Fresnel
- ✦ Myriam Zerrad, Institut Fresnel

Contact SFO

- ✦ Catherine Hercé

SE RENDRE AU REPAS DE GALA



A pied : Traverser la gare St Charles, descendre les escaliers, prendre l'avenue d'Athènes. A droite, descendre la Canebière jusqu'au vieux port et prendre le Quai Rive Neuve puis Boulevard Charles Livon jusqu'à l'entrée du Fort sur la droite

En métro : Ligne 1 "Gare St Charles" jusqu'à la station "Vieux Port-Hôtel de Ville" puis prendre le Quai Rive Neuve puis Boulevard Charles Livon jusqu'à l'entrée du Fort sur la droite

Ce congrès a été organisé avec le soutien de :

